



## بررسی تأثیر توزیع قطر قطرات در پیش‌بینی طول نفوذ مایع و بخار در اسپری دیزل

احسان محمدیان اصفهانی<sup>۱</sup>, کیومرث مظاہری<sup>۲\*</sup>, هادی پاسدار شهری<sup>۳</sup>

۱- دانشجوی کارشناسی ارشد، دانشکده مهندسی مکانیک، دانشگاه تربیت مدرس، تهران

۲- استاد، دانشکده مهندسی مکانیک، دانشگاه تربیت مدرس، تهران

۳- استادیار، دانشکده مهندسی مکانیک، دانشگاه تربیت مدرس، تهران

\* تهران، صندوق پستی ۱۴۱۵۵-۱۱۱، kiumars@modares.ac.ir

### چکیده

هدف تحقیق حاضر بررسی عددی اسپری تبخیری و غیر واکنشی دیزل در یک محفظه احتراق حجم ثابت با شرایط دمایی و فشاری بالا، به عنوان گام اولیه مهم در شبیه‌سازی احتراق سوخت مایع است. بدین منظور اثر توزیع قطر قطرات در محاسبه دو مشخصه کلیدی اسپری یعنی طول نفوذ مایع و طول نفوذ بخار به کمک نرم‌افزار متن‌باز این‌فوم بررسی شده است. جهت تعیین تأثیر توزیع قطر قطرات، سه توزیع مختلف با قطرهای در محدوده ۰.۲۵ میکرومتر در نظر گرفته شده و طول نفوذ مایع و بخار برای هر حالت جداگانه محاسبه شده است. جهت صحبت‌سنجی نتایج از داده‌های تحریری منتشر شده توسط آزمایشگاه ملی سندیا استفاده شده است. نتایج شبیه‌سازی نشان می‌دهد که توزیع قطر قطرات اثر بسیار قابل توجهی بر پیش‌بینی طول نفوذ مایع دارد بهنحوی که باعث پیش‌بینی بیش از دو برابری طول نفوذ مایع می‌گردد در حالی که اثر آن بر روی طول نفوذ گاز ناچیز است. همچنین استفاده از توزیع قطر قطرات همان‌دازه با قطر نازل سبب پیش‌بینی غیرفیزیکی طول نفوذ مایع می‌شود. این امر می‌تواند منجر به پیش‌بینی غیرفیزیکی برخورد اسپری به پیستون و دیواره‌ی سیلندر شده و در محاسبه‌ی غلتات هیدروکربن‌های نساخته و همچنین بازده موتور تأثیر بگذارد.

### اطلاعات مقاله

مقاله پژوهشی کامل  
در رافت: ۳۰ آبان ۱۳۹۴

پذیرش: ۲۶ دی ۱۳۹۴  
ارائه در سایت: ۲۵ بهمن ۱۳۹۴

کلید واژگان:

سوخت دیزل

توزیع قطر قطرات

طول نفوذ

قطر متوسط ساتر

## Investigation of droplet size distribution effect in prediction of liquid and vapor penetration length in the diesel spray

Ehsan Mohammadian Esfahani, Kiumars Mazaheri\*, Hadi Pasdar Shahri

Department of Mechanical Engineering, Tarbiat Modares University, Tehran, Iran.

\* P.O.B. 14115-111, Tehran, Iran, kiumars@modares.ac.ir

### ARTICLE INFORMATION

Original Research Paper

Received 21 November 2015

Accepted 16 January 2016

Available Online 14 February 2016

Keywords:

Diesel fuel

Droplet diameter distribution

Penetration length

Sauter mean diameter

### ABSTRACT

The aim of this study is numerical investigation of an evaporating and non-reacting diesel spray operating in a high pressure and high temperature constant volume combustion chamber, as an essential step in simulation of liquid fuels combustion. To this end, the impact of droplets diameter distribution on estimating two critical characteristic parameters, i.e., liquid and vapor penetration lengths is studied using the open-source OpenFOAM code. In order to determine droplets diameter distribution effect, three different distributions ranging from 0.25-100 micron are chosen and the liquid and vapor penetration lengths are individually calculated for each distribution. The results are validated against the experimental data published by Sandia National Laboratory. The results show that, while the droplets diameter distribution has a remarkable effect on the predicted value of the liquid length, it leads to overestimating liquid penetration lengths up to more than two times; its effect on the vapor length prediction is negligible. Also, assuming a nozzle diameter distribution leads to non-physical increase in the value of liquid length. This non-physical prediction may lead to the misleading prediction of spray impingement to piston and the cylinder walls resulting in an error in unburnt hydrocarbons concentration as well as the engine efficiency estimation.

### -۱- مقدمه

عمده‌ی تحقیقات اولیه پیرامون موتورهای احتراق داخلی، معطوف به افزایش توان، بازده، کاهش ابعاد و روش‌های بهبود کیفیت سوخت بوده است، اما امروزه غالب پژوهش‌ها در این زمینه، بر کاهش آلینده‌های خروجی با حفظ بازده‌ی، ابعاد و توان موتورهای احتراق داخلی متمرکز است. هرچند کماکان، راجح‌ترین سوخت مصرفی در موتورهای جرقه‌ای و موتورهای پاشش مستقیم

Please cite this article using:

E. Mohammadian Esfahani, K. Mazaheri, H. Pasdar Shahri, Investigation of droplet size distribution effect in prediction of liquid and vapor penetration length in the diesel spray, *Modares Mechanical Engineering*, Vol. 16, No. 2, pp. 189-198, 2016 (in Persian)

برای ارجاع به این مقاله از عبارت ذیل استفاده نمایید:

سبب کاهش زاویه‌ی مخروط پاشش و قطر متوسط ساتر در همه‌ی سوخت‌های مورد بررسی می‌گردد. یکی از مواردی که در اکثر کارهای عددی گزارش نشده است، چگونگی مدل‌سازی شکست اولیه‌ی قطرات است. در صورتی که شکست اولیه‌ی قطرات مدل نگردد، می‌باشد توزیع قطر قطرات به عنوان شرط اولیه‌ای برای شکست ثانویه منظور گردد. در این راستا آرانگوئر و همکاران [1] در سال 2012 در مطالعه‌ای عددی با هدف بررسی طول نفوذ مایع و بخار سوخت دودکان ( $C_{12}H_{24}$ ) با صرف نظر از شکست اولیه‌ی قطرات و فرض کردن توزیع قطرات به عنوان نتیجه‌ی شکست اولیه‌ی قطرات، توانست نتایجی با حداقل 5.77 درصد خطا از طول نفوذ گاز بدست آورد. این در حالی است که طول نفوذ مایع در همه‌ی موارد شبیه‌سازی شده دارای خطای بسیار بالایی است. ایشان بروز خطای زیاد در محاسبه‌ی طول نفوذ مایع را در نظر گرفتن توزیع قطر قطرات نامناسب و عدم مدل‌سازی شکست اولیه‌ی اعلام کرده است.

با مروری بر کارهای انجام شده مشاهده می‌شود که علی‌رغم وجود پارامترهای تأثیرگذاری همچون دما و فشار محفظه، دما و فشار پاشش و ترکیب سوخت در پیش‌بینی طول نفوذ مایع و بخار، استفاده از توزیع قطر قطرات مناسب نیز یکی از عوامل مهم در پیش‌بینی طول نفوذ مایع و بخار است؛ بنابراین با توجه به مطالعات انجام شده توسط نگارندگان، تاکنون در تحقیقات عددی به بررسی تأثیر توزیع قطر قطرات پرداخته نشده است و تنها در مرجع [1] به تأثیر قطر قطرات در پیش‌بینی طول نفوذ مایع و بخار اشاره شده است؛ بنابراین هدف کار حاضر بررسی تأثیر توزیع قطر قطرات بر روی پیش‌بینی طول نفوذ مایع و گاز است. برای اعتبارسنجی برنامه‌ی استفاده شده و تطبیق آن با نتایج تجربی، از داده‌های تجربی آزمایشگاه ملی سندیا استفاده شده است [7,6].

## 2- مطالعه موردی کار حاضر

شکل 1 محفظه‌ی احتراق نمونه‌ی آزمایشگاهی مورد بررسی را نشان می‌دهد. این محفظه‌ی دارای شکلی مکعب مانند، به ابعاد 108 میلی‌متر است که هر طرف محفظه‌ی احتراق دارای یک قسمت دایره‌ای شکل با قطر 105 میلی‌متر وجود دارد. موارد قابل مشاهده در نمای داخلی محفظه شامل جرقه‌زن، فن اختلاط، نازل، دریچه‌های ورود هوا و خروج محصولات احتراق و ترموموپل است [7]. در نمونه‌ی آزمایشگاهی، قبل از شروع انجام آزمایش تجربی بر روی اسپری سوخت هپتان، محفظه در یک چگالی مشخص با یک مخلوط قابل احتراق پیش آمیخته پر شده است. سپس مخلوط مشتعل شده و یک محيط دما و فشار بالا ایجاد می‌گردد. به سبب انتقال حرارت محصلات احتراق اولیه با دیوارهای محفظه، باگذشت زمان تقریباً یک ثانیه، فشار درون محفظه به آرامی کاهش می‌یابد. هنگامی که دسترسی به شرایط مطلوب جهت مطالعه‌ی تجربی اسپری سوخت هپتان حاصل شد، سوخت هپتان به درون محفظه تزریق می‌گردد [8].

شکل 2 فرآیند احتراق پیش مخلوط و همچنین خنک شدن محفظه تا رسیدن به شرایط دمایی 1000 کلوین، چگالی 14/8 کیلوگرم بر مترمکعب و 21 درصد اکسیژن و در ادامه تزریق سوخت هپتان را نشان می‌دهد. نرخ پاشش سوخت که توسط یک عدد انژکتور کامران‌ریل<sup>6</sup> به محفظه اعمال می‌شود در شکل 3 نشان داده شده است. آزمایشگاه به منظور شبیه‌سازی‌های

عامل تأثیرگذار در احتراق هرچه بهتر و سطح آلایندگی پایین‌تر با حفظ بازدهی همواره مورد توجه بوده است. در مطالعه‌ی حاضر فرآیند اسپری سوخت، به منظور درک بهتر تعاریف و مفاهیم پایه‌ای انتخاب گردیده است. در میان پارامترهای کلیدی اسپری، دو پارامتر طول نفوذ مایع<sup>1</sup> و طول نفوذ گاز<sup>2</sup> به سبب نقش مستقیم بر روی پارامترهای احتراقی ازجمله زمان تأخیر<sup>3</sup> در احتراق و طول بلندشدن<sup>4</sup> بخصوص در سیلندرهای موتورهای دیزل با بعد کوچک، از اهمیت زیادی برخوردار است؛ زیرا با افزایش محسوس طول نفوذ، احتمال آن است که سوخت پاشش شده به پیستون و یا دیوارهای سیلندر برخورد کند و در نتیجه‌ی آن مقدار هیدروکربن‌های نسوخته افزایش پارامتر سوخت بازده موتور کاهش یابد. تاکنون تحقیقات زیادی بر روی عوامل تأثیرگذار بر طول نفوذ مایع و بخار ازجمله: فشار و دمای محفظه، دما و فشار سوخت پاشش شده و ترکیب سوخت، توسط پژوهشگران صورت گرفته است که در ذیل به چند مورد از آن‌ها اشاره می‌شود. آگوسلو و همکاران [3] در سال 2009 به بررسی عددی فشار اولیه‌ی محفظه و فشار پاشش در پیش‌بینی طول نفوذ بخار در دو سوخت هپتان ( $C_7H_{16}$ ) و بیومتیل بوتان ( $C_5H_{10}O$ ) پرداختند. آن‌ها به این نتیجه رسیدند که کاهش فشار محفظه و افزایش فشار پاشش، سبب افزایش جرم تبخیر شده و افزایش طول نفوذ بخار می‌شود. آن‌ها همچنین گزارش کردند که در شرایط محیطی و پاششی یکسان، سوخت دیزل به سبب داشتن قطر متوسط ساتر<sup>5</sup>، چگالی و کشش سطحی کوچک‌تر در مقایسه با متیل بوتان، دارای نرخ تبخیر و طول نفوذ بیشتری است. آقایی و همکاران [4] در سال 2012 در یک محفظه مکعب شکل به بررسی عددی تأثیر دما و فشار محیط و همچنین دما و فشار پاشش بر روی طول نفوذ بخار سوخت هگزا دکان ( $C_8H_{20}$ ) پرداختند. آن‌ها با به کارگیری مدل توربولنسی کی-اپسیلون به این نتیجه رسیدند که افزایش فشار پاشش و کاهش فشار محیط سبب افزایش طول نفوذ بخار و از طرف دیگر افزایش دمای محیط و افزایش دمای سوخت پاشش شده سبب افزایش طول نفوذ بخار می‌گردد. در نهایت نیز دمای 700 و 320 کلوین به عنوان دمای محیط و دمای سوخت بهینه که بیشترین طول نفوذ مایع در آن حاصل می‌شود، معرفی گردیده است. در زمینه سوخت‌های ترکیبی، پارک و همکاران [5] در سال 2012 به بررسی خصوصیات پاشش و احتراق در سوخت‌های ترکیبی بیوآتانول و دیزل پرداختند. آن‌ها به این نتیجه رسیدند که هر چند بیوآتانول سبب افزایش تأخیر اشتعال و کاهش بازده می‌شود اما به دلیل خاصیت خنک‌کنندگی اتانول مقدار اکسیدهای نیتروژن تولیدی کاهش پیدا می‌کند و مقدار مونوکسید کربن تولیدی و هیدروکربن‌های نسوخته نیز کاهش پیدا می‌کند. همچنین با افزودن بیوآتانول به سوخت، طول نفوذ پاشش تغییری نمی‌کند اما قطر ساتر کاهش و درنتیجه اتمیزاسیون بهبود می‌یابد. در مطالعه‌ای دیگر نفی‌زاده و همکاران [2] در سال 2015 به بررسی عددی رفتار پاشش بیوآتانول در یک محفظه احتراق پرداختند. نتایج مدل‌سازی آن‌ها نشان داد که افزایش مقدار بیوآتانول موجود در ترکیب با بنزین، سبب افزایش جرم سوخت بخار شده، زاویه مخروطی اسپری، مساحت اسپری و کاهش قطر متوسط ساتر می‌شود. این در حالی است که طول نفوذ اسپری تقریباً ثابت باقی می‌ماند. همچنین افزایش فشار تزریق سوخت از یکسو سبب افزایش جرم بخار شده سوخت، طول نفوذ پاشش و مساحت آن و از سویی دیگر

1- Liquid penetration length

2- Vapor penetration length

3- Ignition delay time

4- Lift of length

5- Sauter Mean Diameter (SMD)

عددی، استفاده از مقادیر توصیه شده را پیشنهاد داده که در کار حاضر نیز از این مقادیر استفاده شده است [9].

### 3- معادلات حاکم

شبیه‌سازی اسپری تبخیری و غیر واکنشی سوخت مایع با به کارگیری دیدگاه اولری- لاگرانژی و با روش تصادفی انجام شده است که با عنوان مدل جریان مجازی تصادفی<sup>1</sup> نیز شناخته می‌شود. در این مدل در محاسبه‌ی بدیده‌هایی همچون برخورد قطرات و اغتشاش آن‌ها از توزیع‌های آماری و تصادفی استفاده می‌شود [11]. در این بخش معادلات حاکم در دیدگاه اولری- لاگرانژی به دو دسته معادلات در فاز اولری و در فاز لاگرانژی تقسیم شده و ارتباط بین دو فاز از طریق جملات چشمی و چاه توضیح داده می‌شود.

#### 3-1-3- معادلات حاکم در فاز اولری

در این فاز برای شبیه‌سازی جریان، معادلات ناویر-استوکس به همراه معادلات بقای انرژی، بقای گونه‌ها و معادله‌ی حالت گاز کامل حل می‌شوند. معادلات حاکم به صورت رابطه‌ی (1) تا (5) بیان می‌شوند.

- معادله پیوستگی

$$\frac{\partial \rho}{\partial t} + \nabla \cdot (\rho u) = \dot{\rho}^s \quad (1)$$

که در این رابطه  $\dot{\rho}^s$  ترم چشمی مربوط به جرم تبخیر شده قطرات است که با توجه به زیر مدل‌های تبخیر بدست می‌آید.

- معادله بقای مومنتم

$$\rho \frac{Du}{Dt} = \rho g - \nabla p + \mu \nabla^2 u + \dot{F}^s \quad (2)$$

در معادله بقای مومنتوم  $p$  فشار است و ثوابت  $g$  و  $\mu$  مربوط به شتاب گرانش و لزجت دینامیکی هستند. عبارت  $\dot{F}^s$  نیز ترم چشمی مربوط به مومنتم اسپری است.

- معادله بقای انرژی

$$\rho C_p \left( \frac{\partial T}{\partial t} + u \cdot \nabla T \right) = \nabla \cdot (\lambda \nabla T) \rho g + \dot{Q}^s \quad (3)$$

در این رابطه  $C_p$  و  $\lambda$  به ترتیب ظرفیت حرارتی و ضریب رسانش حرارتی مخلوط هستند. در نهایت  $\dot{Q}^s$  عبارت چشمی ناشی از گرمای آزاد شدهی قطرات است.

- معادله بقای گونه

$$\rho \left( \frac{\partial Y_i}{\partial t} + u \cdot \nabla Y_i \right) = -\nabla \cdot (\rho Y_i V_i) + \dot{\rho}^s \quad (4)$$

در معادله بقای گونه،  $Y_i$  و  $V_i$  به ترتیب کسر جرمی و سرعت نفوذی گونه آام هستند.

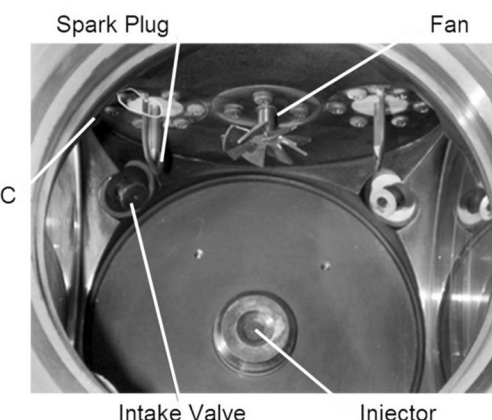
- معادله حالت گاز ایده‌آل

$$\rho = \frac{PMW_{mix}}{R_u T} \quad (5)$$

در معادله حالت گاز ایده‌آل،  $MW_{mix}$  و  $R_u$  به ترتیب جرم مولکولی مخلوط و ثابت جهانی گازها هستند.

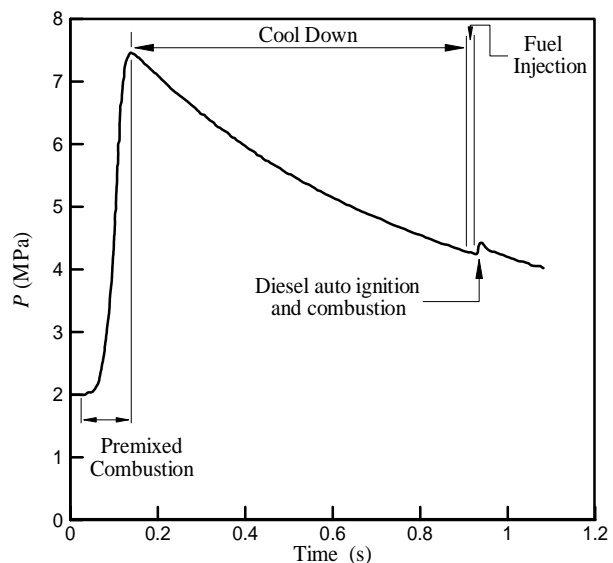
در کار حاضر با توجه به دایروی بودن محفظه، غیر چرخشی بودن جریان و بالا بودن عدد رینولدز از مدل دو معادله‌ای  $-k - C_1$  به منظور مدل‌سازی توربولانس استفاده شده و مقدار ضریب  $C_1$  با توجه به مقادیر تجربی اندازه‌گیری شده برای جت‌های دوران، طبق پیشنهاد مرجع [12] برابر  $C_1 = 1.52$  در نظر گرفته شده است.

1- Stochastic Separated Flow(SSF)



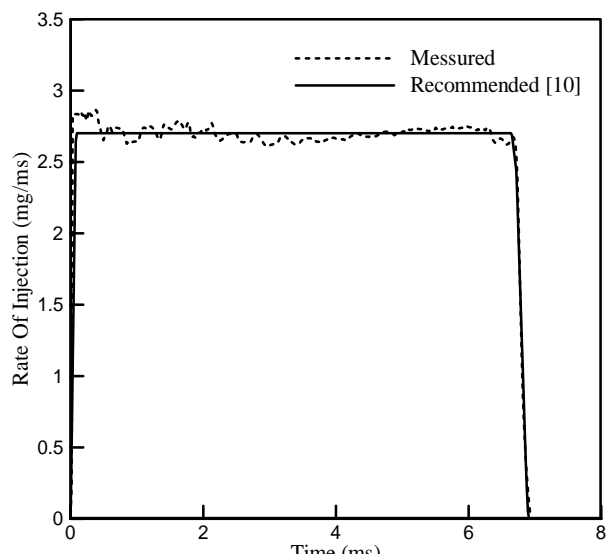
شکل 1 نمونه‌ی آزمایشگاهی مورد مطالعه [7]

شکل 1 نمونه‌ی آزمایشگاهی مورد مطالعه [7]



شکل 2 شبیه‌سازی برای پیش‌بینی دمای محیطی 1000 K، چگالی 14.8 kg/m³، 21% O₂ در لحظه پاشش سوخت [8]

شکل 2 فرآیند منجر به تولید دمای محیطی 1000 K، چگالی 14.8 kg/m³، 21% O₂ در لحظه پاشش سوخت [8]



شکل 3 نرخ پاشش اندازه‌گیری و توصیه شده در محفظه‌ی حجم ثابت [10]

شکل 3 نرخ پاشش اندازه‌گیری و توصیه شده در محفظه‌ی حجم ثابت [10]

در این روابط  $I_1$ ,  $c_1$ ,  $\tau_u$  و  $v$  به ترتیب گرمای ویژه تبخیر قطره، انرژی داخلی قطره، سرعت فاز اولری و  $\tau_u$  نیز نوسانات فاز اولری است که فرض می‌شود با واریانس  $k^{17}$  توزیع شده است [13].

در عمل حل معادله انتقال اسپری بهشت پیچیده است به طوری که امروزه مستقیماً نمی‌توان آن را حل کرد. دیدگاهی که امروزه برای بدست آوردن تقریب رضایت‌بخشی نسبت به جواب دقیق مسئله وجود دارد، استفاده از تکنیک پارسل‌های تصادفی<sup>3</sup> است که بر پایه‌ی روش مونت کارو<sup>4</sup> است [14]. در روش مونت کارو، بهمنظور محاسبات اسپری که شامل میلیون‌ها قطره می‌شود، فقط رفتار تعداد محدودی از قطرات با جزیبات بررسی می‌گردد و فرض می‌شود که خواص و رفتار همهٔ قطرات موجود در اسپری، می‌تواند توسط تعداد محدودی از قطرات که در جزیبات محاسبه شده‌اند، تقریب زده شود. از طرفی به عنوان مثال، برای داشتن مقدار صحیح جرم سوخت در سیلندر، می‌باشد جرم همگی قطرات در نظر گرفته شود. به همین خاطر است که هر قطره، نمایندهٔ تعداد زیادی از قطرات با اندازه، دما و سرعت یکسان می‌شود که دقیقاً رفتار و خواص مشابه نمایندهٔ دارا هستند. به این گروه از قطرات، پارسل<sup>5</sup> گفته می‌شود؛ بنابراین، اسپری به‌وسیلهٔ یک سیستم آماری با تعداد محدودی از پارسل‌ها نمایش داده می‌شود [15].

### 3- معادلات حاکم در فاز لاغرانژی

معادلات حاکم در دیدگاه لاغرانژی، در واقع بیان کنندهٔ ترمها و جملات موجود در معادله انتقال اسپری (رابطهٔ 9) هستند که در این قسمت به آن‌ها پرداخته می‌شود.

#### • معادله حرکت قطرات

کلی ترین شکل معادله شامل کلیهٔ نیروهای وارد بر قطره از جمله: نیروی جرم می‌شود. این معادله شامل اجزایی از جمله: نیروی افروده<sup>6</sup>، نیروی گرادیان فشار<sup>7</sup>، نیروی باست<sup>8</sup>، اثرات مگنس<sup>9</sup>، نیروی سافمن<sup>10</sup>، نیروی فاکسن<sup>11</sup>، نیروی پسا و نیروی گرانش است؛ که در کار حاضر از کلیهٔ نیروهای جرم مجازی، گرادیان فشار، سافمن و فاکسن به‌علت اختلاف چگالی بالای بین دو فاز (به علت وجود ضریب  $\frac{\rho_g}{\rho_d} \ll 1$ ) در تمامی نیروها) صرف‌نظر می‌شود. نیروی برآی مگنس نیز به علت مهم نبودن چرخش قطرات صرف‌نظر می‌گردد [16]. بنابراین آنچه به عنوان نیرو بر قطرات اعمال می‌شود، نیروی دراگ و نیروی گرانش است که طبق رابطهٔ (14) بیان می‌گردد.

$$\frac{\partial u_d}{\partial t} = \frac{1}{\tau_u} (u_d - u) + g \quad (14)$$

که پارامتر  $\tau_u$ ، زمان پاسخ مونتم<sup>12</sup> است و طبق رابطهٔ (15) بدست می‌آید. گام زمانی انتخاب شده برای حل می‌بایست از  $\tau_u$  کمتر باشد. در کار حاضر با توجه به مقدار پاسخ زمانی مونتم ( $s = 5.6 \times 10^{-6}$  s)،  $\tau_u = 5.6 \times 10^{-6}$  s)، گام زمانی یک میکروثانیه انتخاب شده است.

$$\frac{\partial}{\partial t} (\rho k) + \frac{\partial}{\partial x_j} (\rho k u_j) = \frac{\partial}{\partial x_j} \left[ \left( \mu + \frac{\mu_t}{\sigma_k} \right) \frac{\partial k}{\partial x_j} \right] + G - \rho \varepsilon \quad (6)$$

$$\frac{\partial}{\partial t} (\rho \varepsilon) + \frac{\partial}{\partial x_j} (\rho \varepsilon u_j) = \frac{\partial}{\partial x_j} \left[ \left( \mu + \frac{\mu_t}{\sigma_\varepsilon} \right) \frac{\partial \varepsilon}{\partial x_j} \right] + 1.5 \frac{\varepsilon}{k} \dot{W}^s + \frac{\varepsilon}{k} (C_1 G - C_2 \rho \varepsilon) \quad (7)$$

در معادلات (6) و (7)،  $G$ ،  $\dot{W}^s$  معرف تولید انرژی جنبشی اغتشاشی، ناشی از گرادیان سرعت متوسط  $C_1, C_2, \sigma_k$  و  $\sigma_\varepsilon$  ضرایب تجربی ثابت،  $\dot{W}^s$  جمله‌ی چشمهدی ناشی از اسپری و  $\mu_t$  نیز ویسکوژیته‌ی اغتشاشی است.

### 2- توصیف فاز گسسته و معادله انتقال اسپری

شبیه‌سازی فرآیند اسپری شامل محاسبات تغییرات شاعع، سرعت و دمای قطره برای هر زمان، در همهٔ موقعیت‌ها است. یک توصیف استاتیکی از اسپری می‌تواند با استفاده ازتابع توزیع احتمال<sup>1</sup> به صورت رابطه‌ی زیر بیان شود.

$$f = (x, u, r, T, y, \dot{y}, t) du dr dt dy d\dot{y} \quad (8)$$

رابطه‌ی بالا شامل 11 متغیر از جمله، سه مؤلفه مکانی قطره  $x$ ، سه مؤلفه سرعت قطره  $u$ ، شاعع  $r$ ، دما  $T$ ، تغییر شکل از حالت کروی  $y$ ، نرخ تغییر شکل  $\dot{y}$  و زمان  $t$  است. تغییرات زمانی این رابطه در شکل دیفرانسیلی به‌وسیلهٔ معادله انتقال<sup>2</sup> آن که معادله اسپری نامیده می‌شود، طبق رابطهٔ (9) بیان می‌شود [13].

$$\begin{aligned} \frac{\partial f}{\partial t} + \nabla_x \cdot (fu) + \nabla_v \cdot (fF) + \frac{\partial}{\partial r} (fR) + \frac{\partial}{\partial T} (fT) \\ + \frac{\partial}{\partial y} (f\dot{y}) + \frac{\partial}{\partial \dot{y}} (f\ddot{y}) = \dot{f}_{\text{Collision}} + \dot{f}_{\text{Breakup}} \end{aligned} \quad (9)$$

$R, F, T, \dot{y}, \ddot{y}$  به ترتیب نرخ تغییرات سرعت، شاعع، دما، تغییر شکل و سرعت نوسانی قطره هستند که در بخش‌های بعدی تحت عنوان های معادله‌ی حرکت قطرات، معادله‌ی انرژی قطرات و معادله‌ی تبخیر قطرات به آن‌ها پرداخته می‌شود. دو ترم سمت راست معادله (9) نیز جملات چشمهدی ناشی از برخورد قطرات و شکست قطرات می‌باشند که می‌بایست مدل شوند.

اندرکنش بین اسپری و فاز گاز که در معادلات (1) تا (4) از طریق عبارات  $\dot{\rho}^s$ ,  $\dot{F}^s$  و  $\dot{W}^s$  به عنوان جملات چشمهدی در معادلات فاز گازی ظاهر شدند، به‌وسیلهٔ مجموع نرخ تغییرات جرم، تکانه انرژی و توربولانس از تمام قطرات در موقعیت  $x$  و زمان  $t$ ، طبق روابط زیر بدست می‌آیند [13].

$$\dot{\rho}^s = - \int f \rho 4\pi r^2 R du dr dT dy d\dot{y} \quad (10)$$

$$\begin{aligned} \dot{F}^s = - \int f \rho \left[ \frac{4}{3} \pi r^3 (F - g) \right. \\ \left. + 4\pi r^2 Ru \right] du dr dT dy d\dot{y} \end{aligned} \quad (11)$$

$$\dot{Q}^s = - \int f \rho \left\{ 4\pi r^2 R \left[ I_1 + \frac{1}{2} (u - v)^2 \right] \right\} + f \rho \frac{4}{3} \pi r^3 \quad (12)$$

$$\dot{W}^s = - \int f \rho + \frac{4}{3} \pi r^3 (F - g) v' du dr dT dy d\dot{y} \quad (13)$$

1- Probability distribution function (PDF)  
2- Transport Equation

3- Stochastic-Parcel Technique

4- Monte-Carlo Method

5- Parcel

6- Virtual Mass (Added Mass) force

7- Pressure Gradient force

8- Basset force

9- Magnus effect

10- Saffman force

11- Faxe'n force

12- Momentum Relaxation Time (Response Time)

همکاران انجام گرفته است، اندازه هسته‌ی مایع برای فشارهای پاشش متوسط 32-39 مگاپاسکال کمتر از 25-30 برابر قطر نازل گزارش شده است [19]. علاوه بر این، مدل‌های ارائه شده برای شکست اولیه جدید و نیازمند تنظیم ثوابت تجربی هستند و استفاده از این مدل‌ها عدم دقت اجتناب‌نایابی را به دنبال خواهد داشت؛ بنابراین در کار حاضر با توجه به دلایل فوق‌الذکر، بالا بودن فشار پاشش و همچنین پیشنهاد مراجع [20,16.1] شکست اولیه قطرات مدل نمی‌گردد بلکه توزیع قطر متوسط قطرات به صورت مستقیم بیان و به عنوان شرط اولیه برای شکست ثانویه‌ی قطرات در نظر گرفته می‌شود.

مدل‌های مختلف ریاضی همچون توزیع گوسی، توزیع روزین-رم‌لر<sup>3</sup> و توزیع لگاریتمی برای توصیف توزیع قطر قطرات وجود دارد. کد متلب اپن‌فوم از توزیع روزین-رم‌لر برای توصیف توزیع قطر قطرات در جریان بهره می‌گیرد. رابطه‌ی (21) تابع توزیع تجمعی<sup>4</sup> روزین-رم‌لر را نشان می‌دهد.

$$F(D) = 1 - \exp\left(-\left(\frac{D}{\delta}\right)^n\right) \quad (21)$$

با مشتق‌گیری از رابطه‌ی (21) تابع چگالی احتمال روزین-رم‌لر طبق معادله‌ی (22) بدست می‌آید. در این رابطه  $n$  پارامتر پراکنده‌گی است و با توجه به توزیع اولیه‌ی قطرات بین 1 تا 4 متغیر است. δ نیز با توجه (23) محاسبه می‌گردد [21].

$$f(D) = \frac{n}{D} \left(\frac{D}{\delta}\right)^n \exp\left(-\left(\frac{D}{\delta}\right)^n\right) \quad (22)$$

$$\delta = \frac{D_M}{0.693^n} \quad (23)$$

که در آن  $D_M$  متناظر با قطری است که در آن مقدار  $F(D_M)$  برابر با 0.5 گردد.

شکست ثانویه‌ی قطرات مهم‌ترین مکانیزم شکست قطرات اسپری در فشار بالاست و برخلاف شکست اولیه متأثر از پدیده‌هایی است که امروزه به خوبی درک شده است. در شکست ثانویه، قطرات شکسته شده در اثر شکست هسته‌ی مایع، در اثر پدیده‌های آبرودینامیکی ناشی از سیال اطراف به قطرات ریزتری تبدیل می‌شوند. مدل‌های مختلفی در باب شکست ثانویه وجود دارد اما مدل شکست ثانویه‌ی بکار گرفته شده در کار حاضر مدل کلوفین-هلمنلت<sup>5</sup> و رایلی-تیلور<sup>6</sup>، ارائه شده توسط ریتز<sup>7</sup> و برآکو<sup>8</sup> است [22]. این مدل یکی از مهم‌ترین مدل‌های پرکاربرد در شبیه‌سازی اسپری است و به علت کارایی بسیار بالایی که تحت شرایط کارکرد موتور دیزل دارد و همچنین به پیشنهاد مراجع [24,23,20,1] انتخاب شده است. در این مدل دو الگوی شکست پیش‌بینی می‌شود: الگوی شکست KH، که امواج در حال رشدی که در اثر اختلاف سرعت بین فاز مایع و گاز در جت مایع ایجاد می‌شود را پیش-بینی می‌کند و الگوی شکست RH، که به بررسی و پیش‌بینی امواج ناپایدار در حال رشد بر روی سطح قطره، ناشی از شتاب عمود بر سطح مشترک قطرات مایع و گاز می‌پردازد. جزئیات مربوط به معادلات و نحوه تبدیل شدن قطره به قطره کوچک‌تر در مراجع [14,16] به تفضیل پرداخته شده است. مجدداً گام زمانی انتخاب شده برای حل می‌بایست از مشخصه‌ی زمانی شکست کوچک‌تر باشد. در کار حاضر مشخصه‌ی زمانی شکست برای دو الگوی شکست KH و RH در بحرانی‌ترین حالت، به ترتیب برابر با  $2.28 \times 10^{-5}$  s و  $2.38 \times 10^{-6}$  s است. بنابراین گام زمانی انتخابی یک

$$\tau_u = \frac{4}{3} \frac{\rho_d D}{\rho_g C_D |u_d - u|} \quad (15)$$

پارامترهای  $C_D$ ،  $u_d$ ،  $\rho_d$  و  $D$  به ترتیب بیانگر ضریب دراگ قطره، سرعت قطره، چگالی جریان، چگالی قطره و قطر متوسط قطره هستند. ضریب دراگ قطره نیز با توجه به رابطه‌ی زیر بدست می‌آید.

$$C_D = \begin{cases} \frac{24}{Re} \left(1 + 0.15 Re^{\frac{2}{3}}\right) & Re_d < 1000 \\ 0.424 & Re_d > 1000 \end{cases} \quad (16)$$

#### • معادله انرژی قطرات

معادله انتقال گرما به قطره‌ی مایع طبق رابطه‌ی (17) بدست می‌آید.

$$dh = \pi D \kappa N u (T - T_d) f + m_d h_v (T_d) \quad (17)$$

ترم اول سمت راست معروف انتقال حرارت به قطره است که f فاکتور تصحیح نرخ انتقال حرارت ناشی از وقوع انتقال و NU عدد ناسلت است و طبق رابطه‌ی (18) محاسبه می‌گردد [17].

$$Nu = 2.0 + 0.6 Re^{1/2} Pr^{1/3} \quad (18)$$

ترم دوم نیز گرمای نهان ناشی از انتقال جرم را نشان می‌دهد و تعبیر عنوان معادله‌ی تبخیر قطرات به آن پرداخته می‌شود.

#### • معادله تبخیر قطرات

نرخ تبخیر برای یک قطره‌ی منفرد به صورت رایج نسبت به جرم یا قطر قطره

بیان می‌گردد، معادله‌ی (19) نرخ تبخیر را براساس جرم، برای یک قطره‌ی منفرد توصیف می‌کند [17].

$$dm_d = \dot{m}_d = -\pi D S h D \rho_v \ln\left(\frac{p - p_{v,\infty}}{p - p_{v,s}}\right) \quad (19)$$

در این رابطه  $D$  نشانگر ضریب پخش،  $C$  قطر قطره،  $p_{v,s}$  فشار جزئی  $p_v$  بخار در سطح قطره،  $p_{v,\infty}$  فشار جزئی بخار در ناحیه‌های دور از قطره و  $\rho_v$  چگالی بخار سوخت در نزدیک سطح قطره است که با قانون گاز ایده‌آل تخمین زده می‌شود.  $p$  فشار گاز است (همان  $p_{amb}$ ) که در نزدیک سطح قطره برابر با فشار بخار سوخت در نظر گرفته می‌شود. علاوه بر این عدد شرود Sh با اثرات سرعت نسبی در افزایش نرخ تبخیر را در نظر می‌گیرد و با استفاده از تصحیح رنزن-مارشال<sup>1</sup> طبق رابطه‌ی (20) محاسبه می‌شود.

$$Sh = 2.0 + 0.6 Re^{1/2} Sc^{1/3} \quad (20)$$

تا این قسمت تمامی ترم‌های موجود در سمت چپ معادله‌ی (9) توضیح داده شد. در این بخش به نحوه مدل کردن دو ترم سمت چپ معادله که جملات چشممه‌ی ناشی از برخورد و شکست قطرات هستند پرداخته می‌شود.

#### • مدل شکست قطرات

شکست جت مایع در خروج از نازل را به دودسته‌ی شکست اولیه و ثانویه تقسیم‌بندی می‌کنند. با شکست اولیه و تبدیل جت پیوسته‌ی مایع به قطرات گستته، شرایط آغازین برای شروع محاسبات شکست ثانویه تعیین می‌گردد. در واقع شکست اولیه، نمایانگر شرایط قطراتی است که از نازل خارج می‌شوند. این قطرات نتیجه‌ی شکست ناحیه‌ی هسته‌ی متراکم<sup>2</sup> مایع هستند. تأثیرات درون نازل (به عنوان مثال کاویتانسیون) و انتقال از درون نازل به یک ناحیه‌ی اسپری چگال، عمدتاً این نوع شکست را تحت تأثیر قرار می‌دهند [18]. حتی امروزه مکانیزمی که سبب شکست اولیه‌ی قطرات در شرایط مختلف می‌شود، به درستی درک نشده است، زیرا مطالعه‌ی جریان اطراف نازل در فشار پاشش بالا به علت کوچک بودن ابعاد هسته‌ی مایع و چگالی بالای آن بسیار دشوار است. به عنوان نمونه در مطالعه‌ای که توسط گروگوری و

3- Rosin-Rammler

4- (CDF)

5- Kelvin-Helmholtz

6- Rayleigh-Taylor

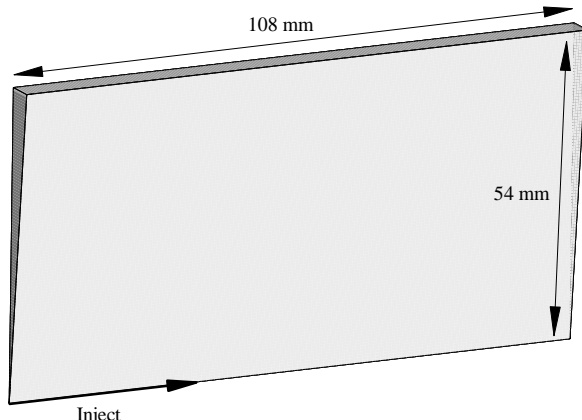
7- Reitz

8- Bracco

1- Ranz-Marshall(or Frossling) Correction  
2- Dense core region

که در اثر احتراق پیش مخلوط ایجاد شده، دمای 1000 درجه‌ی کلوین و فشار 4.33 مگاپاسکال است. درصد مولی محصولات ایجاد شده ناشی از احتراق پیش مخلوط در جدول 1 و شرایط محیطی در هنگام پاشش سوخت به همراه مشخصات سوخت پاشیده شده نیز در جدول 2 آورده شده است. قطر ماکریزم و مینیمم قطرات که در واقع تعیین کننده توزیع قطرات به روش روزین-رم‌لر است به ترتیب برابر 75 و 0.5 میکرومتر در نظر گرفته شده است. مدل‌های استفاده شده در این شبیه‌سازی عبارت‌اند از مدل اغتشاشی کی-اپسیلون با ضرایب تصحیح شده طبق مرجع [12]، مدل شکست ثانویه‌ی کلوین هلمهلترا-رایلی تیلور و مدل تبخیر قطرات رنز-مارشال.

برای حل مسئله در ابتدا عدم وابستگی حل عددی به شبکه‌ی محاسباتی بررسی شده است. شکل 5 نتایج استقلال حل عددی از شبکه‌ی



شکل 4 ابعاد هندسی در نظر گرفته شده در کار حاضر

جدول 1 درصد مولی گازها در محفظه‌ی احتراق در لحظه‌ی پاشش سوخت [8]

Table 1 Molar percent of gaseous in combustion chamber at injection time [8]

گونه	مقدار (درصد مولی)
اکسیژن	0
نیتروژن	89.71
کربن دی‌اکسید	6.52
آب	3.77

جدول 2 شرایط اولیه‌ی محیطی و مشخصات سوخت پاشش شده [8]

Table 2 Initial ambient condition and characteristic of injected fuel [8]

مشخصه	مقدار	واحد
دمای اولیه محفظه	1000	کلوین
فشار اولیه محفظه	4.33	مگاپاسکال
فشار پاشش	150	مگاپاسکال
دمای پاشش	373	کلوین
مدت زمان پاشش	6.894	ثانیه
جرم پاشش شده	17.8	میلی‌گرم
قطر نازل	0.1	میلی‌متر
ویسکوزیته سوخت	0.00021	ثانیه/پاسکال
چگالی سوخت	613.236	مترمکعب/کیلوگرم
کشش سطحی سوخت	0.01248	مترانیون

میکروثانیه‌ی می‌تواند جزئیات پدیده را دنبال کند.

#### • مدل برخورد قطرات

مدل کردن برخورد قطرات مستلزم آگاهی از رقیق<sup>1</sup> بودن و یا چگال<sup>2</sup> بودن جریان است. در جریان رقیق حرکت ذرات تحت کنترل نیروهای وارد بر ذرات (نیروی پسا و نیروی برا) است اما در جریان چگال، حرکت ذرات تحت تأثیر برخورد و تماس‌های بی‌دریجی ذرات به یکدیگر است. یک برآورد کیفی از رقیق و یا چگال بودن جریان را می‌توان با مقایسه‌ی نسبت پاسخ زمانی مومنتم ذرات ( $\tau_u$ ) به زمان بین برخورد قطرات ( $\tau_c$ ) بدست آورد. در صورت که این نسبت کمتر از یک باشد، جریان رقیق و در صورت بزرگ‌تر از یک بودن جریان چگال است. در حالت رقیق، ذرات تا قبل از برخورد به اندازه‌ی کافی زمان برای واکنش نسبت به تغییرات جریان دارند اما در حالت چگال، ذره زمان کافی برای واکنش به تغییرات نداشته و برخورد اتفاق می‌افتد [14]. اگرچه جریان در همه‌ی موتورهای دیزل پاشش مستقیم در لحظه‌ی آغاز اسپری، چگال است اما در فواصل دور از نازل و همچنین به علت تبخیری بودن قطرات موردمطالعه، می‌توان از برخورد قطرات صرف‌نظر نمود. از طرفی دیگر، مقدار تقریبی بدست آمده برای تحقیق حاضر، حاکی از رقیق بودن جریان دارد که با پیشنهاد مراجع [1, 20] مبنی بر رقیق بودن جریان اسپری و عدم نیاز به مدل کردن برخورد قطرات نیز همخوانی دارد.

#### 4-3- روش حل عددی

کار حاضر، با به کارگیری قابلیت‌های کد مت. باز این فوم صورت پذیرفته است. شبیه‌سازی اسپری سوخت هپتان درون محفظه‌ی حجم ثابت، بهصورت دوبعدی مقارن محوری و با استفاده از حل گر IsatDieselFoam انجام شده است [25]. این حل گر بر پایه‌ی حل گر DieselFoam موجود در نرم‌افزار توسعه داده شده است و قابلیت‌های مایع با استفاده از مدل احتراقی واکنشی سوخت های میمه مخلوط<sup>3</sup> و با در نظر گرفتن تشفعش را دارد. در حل گر توسعه داده شده، روش جدول‌سازی درجای تطبیق‌پذیر در شبیه‌سازی احتراق سوخت‌های مایع با سینتیک‌های بزرگ به عنوان کتابخانه‌ای به حل گر اضافه شده است، علاوه بر این مدل‌سازی انتقال حرارت تشبعی و همچنین تابع محاسبه‌گر طول نفوذ مایع نیز فراخوانی و به حل گر اضافه شده است. لازم به ذکر است که در تحقیق حاضر چون به اسپری تبخیری و غیر واکنشی سوخت هپتان پرداخته می‌شود، از تمامی قابلیت‌های حل گر استفاده نشده است. در شبیه‌سازی انجام شده از روش‌های گسسته‌سازی مختلفی بهره گرفته شده است. گسسته‌سازی ترمهای زمانی از روش اولر مرتبه یک، گسسته‌سازی سایر جملات از روش گاوس با دقت مرتبه‌ی دوم و کلیه‌ی میان‌بایه‌های انجام گرفته نیز بهصورت خطی صورت پذیرفته است. در نهایت تصحیح فشار با استفاده از الگوریتم پیزو<sup>4</sup> انجام گرفته که در این روش فشار یکبار پیش‌بینی و دوبار تصحیح می‌شود.

#### 4- نتایج و بحث

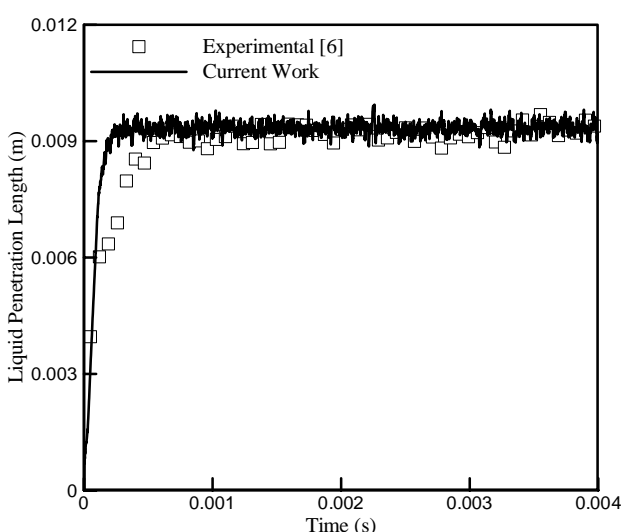
در این شبیه‌سازی محفظه‌ی حجم ثابت نمونه‌ی آزمایشگاهی به ابعاد 108 در 108 میلی‌متر، بهصورت دوبعدی مقارن محوری و مطابق شکل 4 در نظر گرفته شده است. شرایط دمایی و فشاری محفظه در لحظه‌ی اسپری سوخت

1- Dilute Flow

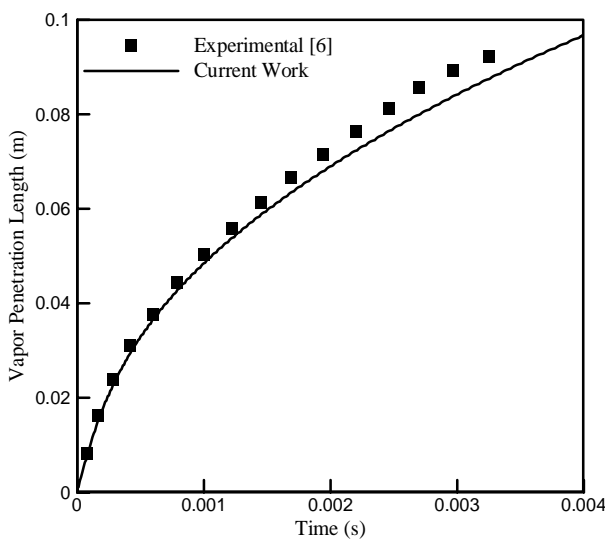
2- Dense Flow

3- Partially Stirred Reactor (PaSR)

4- Piso



شکل 6 مقایسه نتایج مطالعه حاضر با نتایج تجربی برای طول نفوذ مایع



شکل 7 مقایسه نتایج مطالعه حاضر و نتایج تجربی برای طول نفوذ بخار

دو فاصله 20 و 40 میلی‌متری از سر نازل و در زمان 113 میلی‌ثانیه را نشان می‌دهد. به‌منظور بررسی دقت جواب‌ها، نتایج عددی شبیه‌سازی حاضر و همچنین نتایج عددی انجام شده توسط نوولا و همکاران [20] در سال 2011 با داده‌های تجربی [6] مقایسه شده‌اند که حاکی از دقت قابل قبول نتایج عددی کار حاضر است. ملاحظه می‌گردد که مقدار کسر جرمی سوت خود در محور مرکزی، ماکریزم مقدار است و به سبب نفوذ سوت در جهات شعاعی و محوری، از مقدار آن در نواحی دورتر از نازل (شکل 9-b) کاسته می‌شود.

#### 1-4- بررسی توزیع قطر قطرات

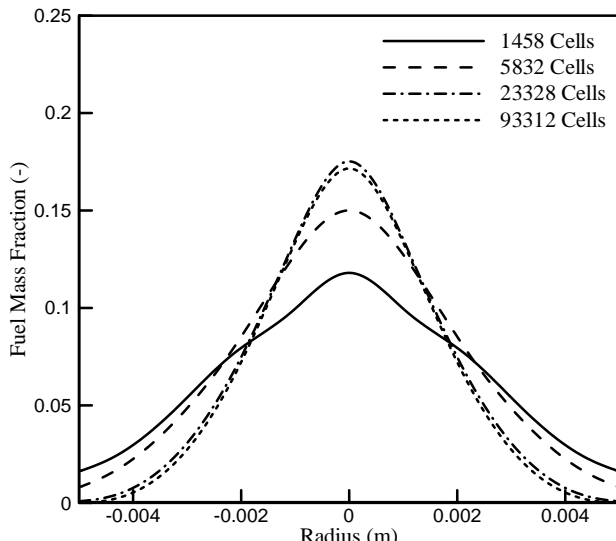
به‌منظور بررسی تأثیر توزیع قطر قطرات بر روی طول نفوذ مایع و بخار، سه توزیع قطر مطابق جدول 3 در نظر گرفته شده است. حالت 1 متناظر با حالتی است که در اطراف نازل قطراتی با قطر درشت و هماندازه قطر نازل

محاسباتی را در فاصله‌ی 20 میلی‌متر از نازل در زمان 113 میلی‌ثانیه از حل، براساس کسر جرمی سوت در راستای شعاع نشان می‌دهد. همان‌طور که ملاحظه می‌گردد نتایج دو شبکه‌ی 23328 و 93312 بر روی یکدیگر منطبق می‌باشند؛ بنابراین با توجه به هزینه‌ی محاسباتی بالاتر برای شبکه‌ی بندی ریزتر، شبکه‌ی 23328 با اندازه‌ی سلول 0.5 میلی‌متر به عنوان شبکه‌ی بهینه انتخاب شده است.

در شکل 6 و 7 نتایج بدست آمده برای طول نفوذ مایع و گاز با داده‌های تجربی مرجع [6] مقایسه شده است. طول نفوذ مایع طبق تعریف به حداقل فاصله‌ی محوری از نازل که در هر لحظه‌ی زمانی دارای 95 درصد جرمی سوت خود است، گفته می‌شود. در برخی مقالات، این طول، براساس درصدهای متغیر از جرم سوت تزریق شده نیز (97-95 درصد) تعریف و محاسبه شده است [1]. در کار حاضر طول نفوذ مایع، براساس 95 درصد فاصله‌ی خروجی از نازل در هر لحظه‌ی زمانی که کسر جرمی سوت به مقدار 0.1 درصد می‌رسد، گفته می‌شود. این طول نیز در برخی مقالات براساس درصدهای متغیر از کسر جرمی سوت (0.1-0.05) تعریف و محاسبه شده است [1]. در کار حاضر به‌منظور همخوانی با روش اندازه‌گیری شده توسط آزمایشگاه، کسر جرمی سوت 0.1 درصد در نظر گرفته شده است [26]. همان‌طور که در شکل 6 و 7 ملاحظه می‌گردد نتایج از دقت خوبی برخوردار هستند به‌نحوی که مقدار خطای نسبی متوسط حاصل از شبیه‌سازی و داده‌های تجربی برای طول نفوذ مایع و گاز به ترتیب 2.53 و 4.91 درصد است. مطابق شکل 6 به علت دمای بالای محفظه، هسته‌ی مایع تشکیل شده است. شروع به تبخیر کرده و مقدار طول آن (طول نفوذ مایع) در در جلوی نازل، شروع به تبخیر کرده و مقدار نفوذ بخار سوت که مقدار طول نفوذ آن، معرف طول نفوذ بخار است، روند افزایشی را نشان می‌دهد.

مقادیر طول نفوذ بخار براساس مدل‌های مختلف توربولانسی بر حسب زمان در شکل 8 آورده شده است. مشاهده می‌گردد که استفاده از مدل کی-اپسیلون استاندارد با ضریب ارائه شده برای جت‌های دوار توسط مرجع [12]. نسبت به سایر مدل‌ها از دقت بالاتری برخوردار است.

شکل 9 تغییرات کسر مولی سوت در امتداد شعاع محفظه‌ی احتراق در



شکل 5 تأثیر دقت شبکه‌ی محاسباتی بر مشخصات اسپری

تشکیل گردد. حالت‌های 2 و 3 نیز نشان‌دهنده‌ی توزیع قطرات کوچک‌تر از قطر نازل هستند.

در شکل 10 توزیع قطر قطرات با توجه به سه حالت در نظر گرفته شده، طبق روابط (21) و (22) رسم گردیده است. همان‌طور که ملاحظه می‌گردد با کاهش قطر مینیمم و ماکریتم در هر مرحله، توزیع قطر قطرات به سمت قطرات ریزتر میل کرده و تعداد قطرات ریزتر در توزیع افزایش می‌یابد.

با توجه به این‌که طول نفوذ مایع تحت تأثیر شکست ثانویه‌ی قطرات است و براساس 0.95 کسر جرمی سوخت در ناحیه‌ی محاسباتی محاسبه می‌گردد، استفاده از قطر متوسط ساتر برای تحلیل نتایج که به عنوان معیاری مناسب برای تخمینی از شکست قطره، محاسبه‌ی بازده و انتقال جرم در واکنش‌های شیمیایی شناخته شده است، لازم و ضروری به نظر می‌رسد. قطر متوسط ساتر، طبق تعریف معادل قطر قطره‌ای است که نسبت حجم به سطح آن برابر با نسبت حجم به سطح همه‌ی قطرات است [27]. در واقع هر چه

جدول 3 مقادیر توزیع قطر قطرات در نظر گرفته شده

Table 3 Considered droplet diameter distribution

پارامتر پراکندگی	قطر ماکریتم (میکرومتر)	قطر مینیمم (میکرومتر)	مطالعه موردی
3	100	1	1 حالت
3	75	0.5	2 حالت
3	37.5	0.25	3 حالت

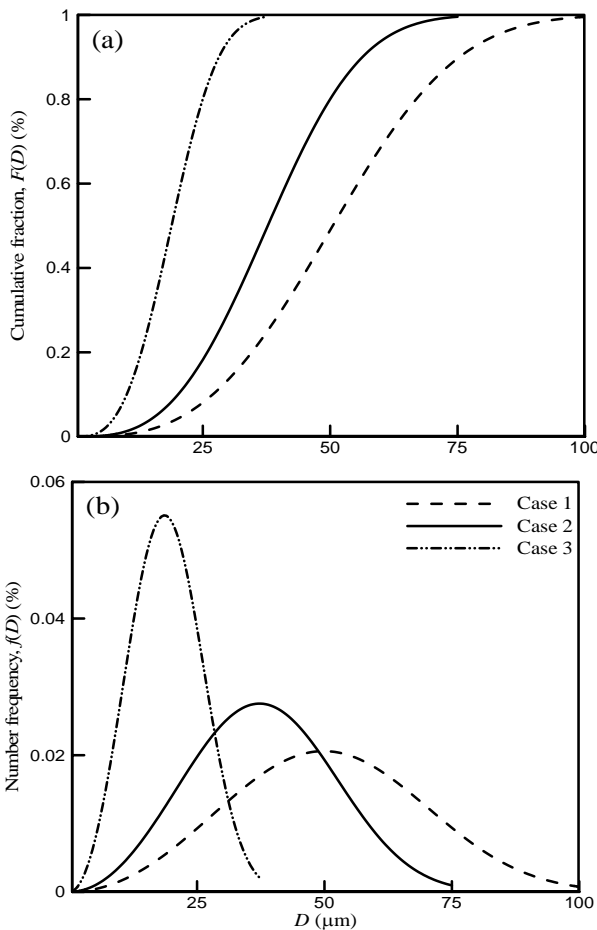


Fig. 10 Considered droplet diameter distribution: (a) Cumulative number distribution and (b) Number frequency distribution

شکل 10 مقادیر توزیع قطر قطرات در نظر گرفته شده: (a) توزیع عددی تجمعی و (b) توزیع فرکانسی عددی

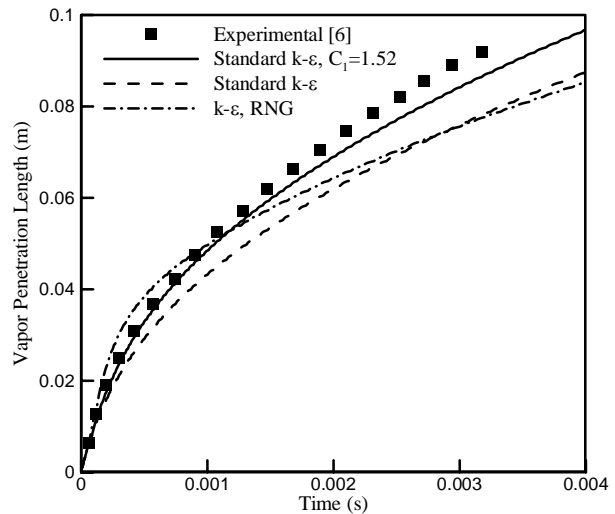


Fig. 8 Effect of turbulence model on spray characteristics

شکل 8 تأثیر مدل‌های توربوولانسی بر خصوصیات اسپری

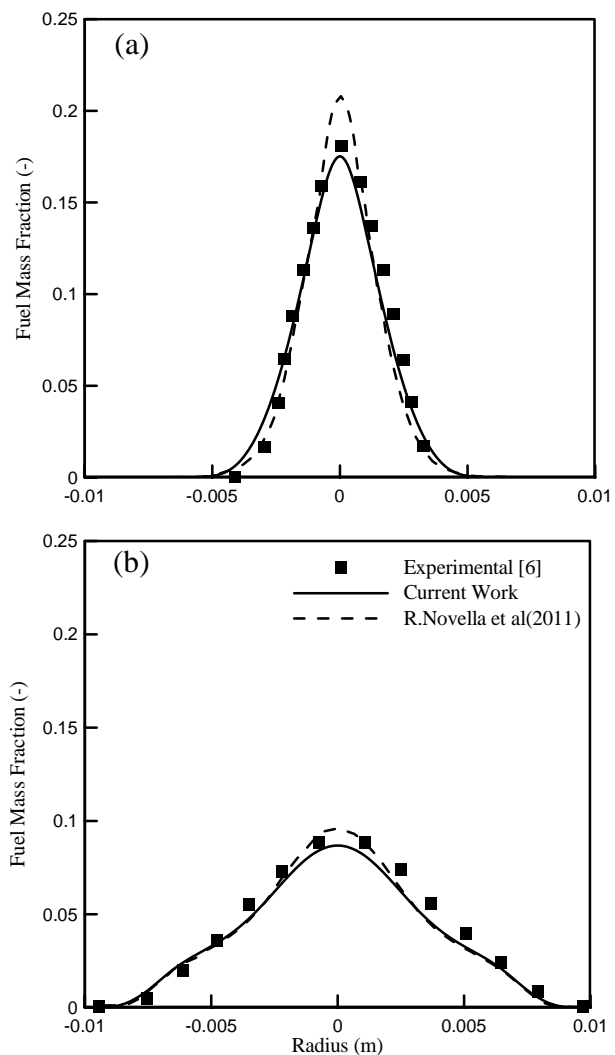


Fig. 9 Model validation. Radial fuel distribution profile at (a) 20 and (b) 40 mm from injector tip, 113 ms after start of injection

شکل 9 صحبت‌سنگی نتایج، نمودار توزیع شعاعی سوخت به فاصله‌ی 20 و 40 میلی‌متری از سر نازل، 113 میلی‌ثانیه بعد از آغاز پاشش

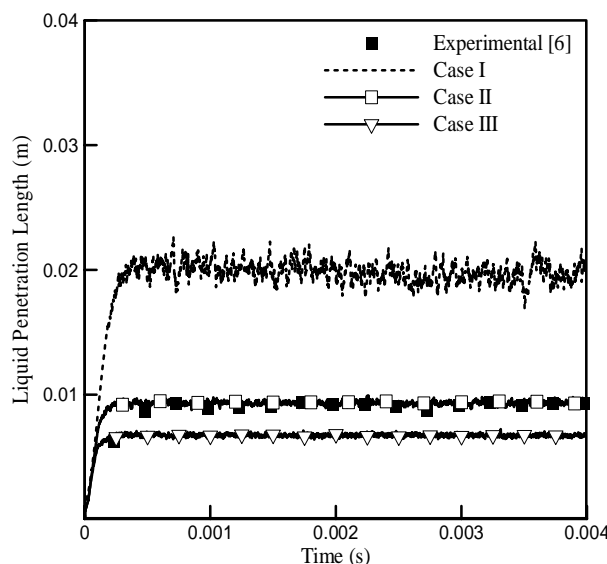


Fig. 12 Predicted liquid penetration length for three considered droplet diameter distribution

شکل 12 طول نفوذ مایع پیش‌بینی شده برای سه توزیع قطر قطرات در نظر گرفته شده

شکل 13 مقدار جرم تبخیر شده قطرات را بر حسب زمان در سه توزیع در نظر گرفته شده نشان می‌دهد. مجدداً به علت قطر متوسط ساتر کوچک‌تر در حالت 3 و شکست زود هنگام قطرات، انتقال حرارت به مجموعه قطرات سبب تبخیر زود هنگام آن‌ها نسبت به سایر توزیع‌های در نظر گرفته گشته و جرم بیشتری از سوخت تبخیر می‌گردد. با وجود این‌که جرم تبخیر شده در حالت 3 حدود 1.67 برابر بیشتر از حالت اول است (متوجه شکل 13)، در نگاه اول انتظار می‌رود که طول نفوذ گاز نیز در این حالت بیشترین مقدار باشد اما در شکل 14 مقدار طول نفوذ گاز رفتار کاملاً برعکسی را نشان می‌دهد. در توجیه این رفتار می‌توان این‌گونه اظهار داشت که اگرچه جرم تبخیر شده در حالت 3 بیشترین مقدار است اما به سبب این‌که طول نفوذ مایع در این حالت کمتر است، سوخت مایع در فاصله کمتری نسبت به نازل آغاز شده و تبخیر قطرات و گسترش نفوذ بخار از فاصله کمتری به نازل آغاز شده و همین سبب کمتر پیش‌بینی شدن طول نفوذ گاز در حالت 3 نسبت به سایر حالت‌ها می‌شود. بهمنظور درک بهتر در شکل 15 فرآیند پاشش سوخت به محفظه پس از گذشت 113 میلی‌ثانیه از حل، برای دو حالت 1 و 3 اورده شده است. در این شکل مقدار اختلاف طول نفوذ مایع و بخار در هر دو حالت نشان داده شده است. مقدار اختلاف دو برابری در پیش‌بینی طول نفوذ مایع در به کارگیری دو توزیع مختلف به خوبی مشاهده می‌شود، این در حالی است که اختلاف بین طول نفوذ گاز در این دو حالت به مراتب کمتر است.

## 5- جمع‌بندی

در کار حاضر اثر توزیع قطر قطرات در پیش‌بینی طول نفوذ مایع و گاز در یک محفظه‌ی حجم ثابت به روش عددی بررسی شد. سه توزیع قطر قطرات از همان‌دازه با قطر نازل و دو مورد کوچک‌تر در نظر گرفته شد. نتایج نشان می‌دهد توزیع قطر قطرات اثر قابل توجهی بر پیش‌بینی طول نفوذ مایع دارد درحالی که اثر آن بر روی طول نفوذ گاز ناچیز است. استفاده از توزیع قطر قطرات همان‌دازه با قطر نازل به سبب داشتن عدد ساتر بزرگ‌تر و اتمیزاسیون دیرتر سبب پیش‌بینی بیش‌از‌حد طول نفوذ مایع نسبت به مقادیر تجربی می‌گردد. این در حالی است که توزیع درشت‌تر حتی با داشتن نرخ تبخیر

مقدار قطر متوسط ساتر کوچک‌تر باشد، قطره راحت‌تر شکسته، حرارت بیشتری جذب و متعاقباً نرخ تبخیر بالاتری خواهد داشت [2]. شکل 11 مقدادر قطر متوسط ساتر را در هر لحظه از زمان برای سه توزیع در نظر گرفته شده، نشان می‌دهد.

همان‌طور که ملاحظه می‌گردد در حالت 1 که توزیع قطر قطرات درشت است، مقدار قطر متوسط ساتر بالاتر از دو حالت دیگر پیش‌بینی شده است. بهنحوی که در این حالت، مقدار قطر متوسط ساتر بدست آمده بیش از 1.5 برابر دو حالت دیگر است. این در حالی است که در دو حالت دیگر قطر متوسط ساتر اختلاف ناچیزی با یکدیگر دارند. پدیده‌های مختلفی از قبیل نرخ شکست قطرات و نرخ تبخیر می‌تواند در بروز چنین رفتاری در حالت دوم و سوم تأثیرگذار باشد. در این دو حالت چون توزیع ریزتری وجود دارد، قطرات در فاصله‌ی کمی بعد از ورود تبخیر می‌شوند، این در حالی است که نرخ ورود جرم در هر گام زمانی در هر سه حالت یکسان است؛ بنابراین در حالت سوم در یک لحظه‌ی زمانی قطرات ریزتر بیشتری در مقایسه با حالت دوم تبخیر شده و آنچه باقی می‌ماند قطرات درشتی است که در اندازه تقریباً مشابه حالت دوم است و هنوز روند شکست و تبخیر آن‌ها ادامه دارد. به عبارت دیگر قطرات تشکیل دهنده‌ی مقدار طول نفوذ مایع، در حالت دوم و سوم از لحاظ قطر تقریباً یکسان بوده و همین سبب نزدیک پیش‌بینی شدن قطر متوسط ساتر در این حالت‌ها است. در نهایت حالت 3 که متناظر با کوچک‌ترین توزیع قطر قطرات است کمترین قطر متوسط ساتر را دارد؛ بنابراین آنچه انتظار می‌رود این است که قطرات در حالت 1 دیرتر از دو حالت دیگر شکسته شوند و طول نفوذ مایع بالاتری داشته باشند. با توجه به اختلاف اندک قطر ساتر در دو حالت دیگر نیز، انتظار می‌رود که طول نفوذ مایع در این دو حالت اختلاف کمتری داشته باشند و کمترین طول نفوذ مایع با توجه به عدد ساتر کوچک‌تر و شکست زودهنگام‌تر متعلق به حالت 3 باشد.

شکل 12 مقدادر قطر قطرات در نظر گرفته شده نشان می‌دهد. همان‌طور که ملاحظه می‌گردد در شکل 12 این انتظار به خوبی برآورده شده است. بهنحوی که حالت 1 با توزیع قطر درشت‌تر دارای بیشترین طول نفوذ مایع و حالت 3 دارای کمترین طول نفوذ مایع است. ملاحظه می‌گردد که استفاده از توزیع قطر نامناسب قطرات سبب پیش‌بینی بیش از دو برابری طول نفوذ مایع نسبت به مقادیر تجربی می‌گردد.

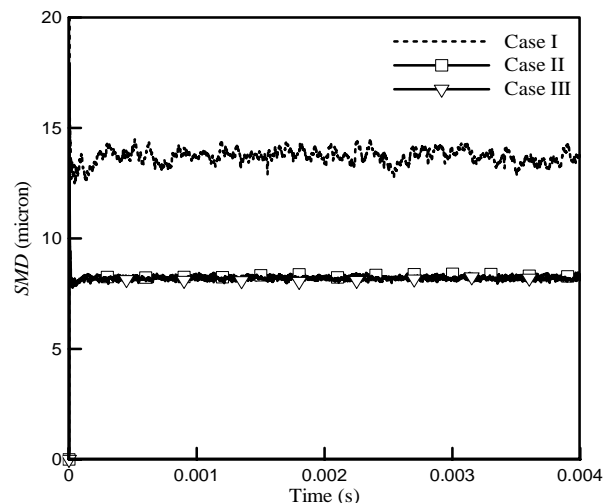


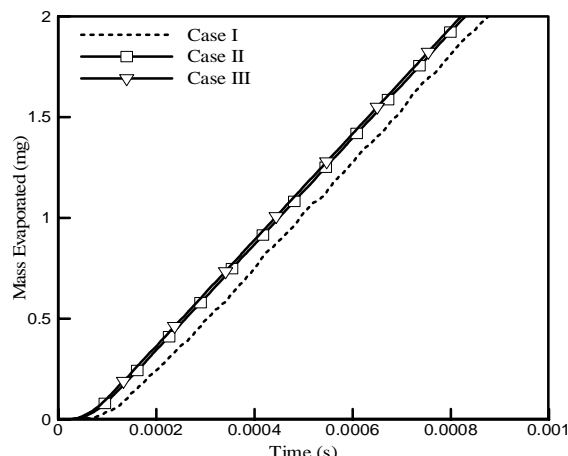
Fig. 11 Predicted sauter mean diameter for three droplet diameter distribution

شکل 11 قطر متوسط ساتر پیش‌بینی شده برای سه توزیع قطر قطرات

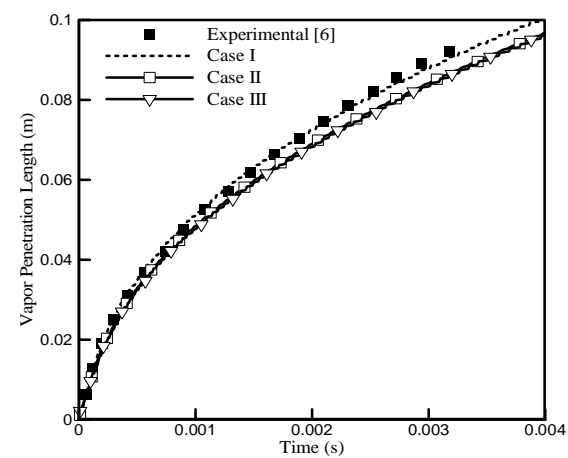
نفوذ بخار با به کارگیری توزیع قطرات درشت‌تر با نتایج تجربی همخوانی بهتری دارد اما به سبب بیشتر پیش‌بینی شدن طول نفوذ مایع، غیردقیق قلمداد شده و توزیع قطر قطرات ریزتر متناظر با حالت ۲ به همراه مدل توربولانسی کی اپسیلون استاندارد با ضرایب تصحیح شده، به عنوان حالت بهینه جهت شبیه‌سازی اسپری همراه با جریان واکنشی انتخاب می‌گردد.

## 6- مراجع

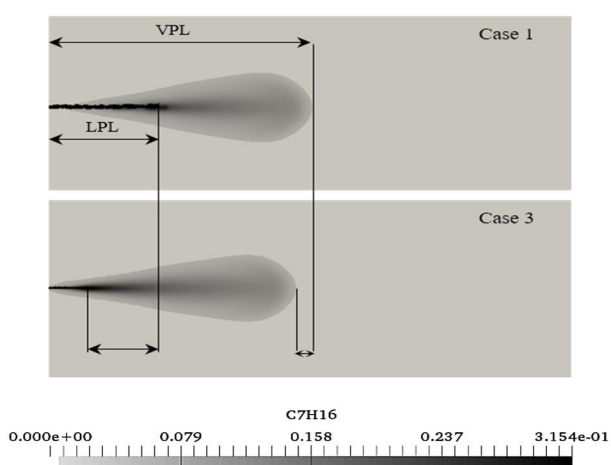
- [1] A. M. Aranguez, *Non-reacting fuel spray simulations under direct injection diesel engine*, MSC Thesis, Lund University, Sweden, 2012.
- [2] M. M. Naghizadeh, A. Ghahremani, M. H. Saidi, Numerical simulation of spray characteristics of bio-ethanol and its blend with gasoline in direct injection combustion chamber, *Modares Mechanical Engineering*, Vol. 15, No. 4, pp. 112–122, 2015.(in Persian)
- [3] J. Agudelo, P. Benjumea, Study of diesel sprays using computational fluid dynamics, *Universidad de Antioquia*, Vol. 1, pp. 61–69, 2009.
- [4] A. Aghaie, M. Kayhani, M. Razavi, Investigation of thermodynamics properties effects on spray tip penetration, *International journal of multidisciplinary sciences and engineering*, Vol. 3, No. 10, 2012.
- [5] S. H. Park, J. Cha, H. J. Kim, C. S. Lee, Effect of early injection strategy on spray atomization and emission reduction characteristics in bioethanol blended diesel fueled engine, *Energy*, Vol. 39, No. 1, pp. 375–387, 2012.
- [6] *Experimental data search*, Accessed on 29 December 2015; <http://www.sandia.gov/ecn/cvdata/dsearch/dsearch.php>.
- [7] *Combustion vessel geometry 2009 to present*, Accessed on 03 March 2015; <http://www.sandia.gov/ecn/cvdata/sandiaCV/vesselGeometry2009.php>.
- [8] *Ambient condition*, Accessed on 03 March 2015; <http://www.sandia.gov/ecn/cvdata/sandiaCV/ambientConditions.php>.
- [9] *Engine combustion network*, Accessed on 03 March 2015; <http://www.sandia.gov/ecn/>.
- [10] *Spray H recommended rate of injection*, Accessed on 09 November 2015; <http://www.sandia.gov/ecn/cvdata/sandiaCV/SprayHroi.php>.
- [11] M. Shafa, Numerical simulation of reduction in NOx emissions with selective non-catalytic reduction method in stack, *Modares Mechanical Engineering*, Vol. 15, No. 2, pp. 92–100, 2014. (in Persian)
- [12] J. Janicka, N. Peters, Prediction of turbulent jet diffusion flame lift-off using a pdf transport equation, *Nineteenth Symposium (International) on Combustion*, Vol. 19, No. 1, pp. 367–374, 1982.
- [13] B. Challen, R. Baranescu, *Diesel engine reference book*, Second Edition, pp. 156–158, United Kingdom: Butterworth-Heinemann, 1999.
- [14] C. Baumgarten, *Mixture Formation in Internal Combustion Engines*, Second Edition, pp. 99–101 , New York: Springer, 2006.
- [15] T. Division, L. Alamos, J. K. Dukowicz, A particle-fluid numerical model for liquid sprays, *Journal of computational physics*, Vol. 35, No. 2, pp. 229–253, 1980.
- [16] F. Kärrholm, *Numerical modelling of diesel spray injection, turbulence interaction and combustion*, PhD Thesis, Department of Applied Mechanics, Chalmers University of Technology, Sweden, 2008.
- [17] P. A. Nordin, *Complex chemistry modeling of diesel spray combustion*, PhD Thesis, No. 1689, pp. 1–55, Chalmers University of Technology, Sweden, 2001.
- [18] F. Payri, V. Bermúdez, R. Payri, F. J. Salvador, The influence of cavitation on the internal flow and the spray characteristics in diesel injection nozzles, *Fuel*, Vol. 83, No. 4–5, pp. 419–431, 2004.
- [19] G. J. Smallwood, Ö. L. Gülder, D. R. Snelling, The structure of the dense core region in transient diesel sprays, *Twenty-Fifth Symposium (International) on Combustion*, Vol. 25, No. 1, pp. 371–379, 1994.
- [20] R. Novella, A. García, J. M. M. Pastor, V. Domenech, The role of detailed chemical kinetics on CFD diesel spray ignition and combustion modelling, *Mathematical and Computer Modelling*, Vol. 54, No. 7–8, pp. 1706–1719, 2011.
- [21] S. E. Edi, T. I. On, C. T. Crowe, J. D. Schwarzkopf, M. Sommerfeld, Y. Tsuji, *Multiphase flows with droplets and particles*, Second Edition, pp. 47–50, New York: CRC press Taylor & Francis Group, 2011.
- [22] R. D. Reitz, Modeling atomization processes in high-pressure vaporizing sprays, *Atomisation Spray Technology*, Vol. 3, No. 4, pp. 309–337, 1987.
- [23] J.-H. Lee, S. Goto, Comparison of spray characteristics in butane and diesel fuels by numerical analysis, *SAE Technical Paper*, Vol. 109, No. 2, pp. 105–115, 2000.
- [24] J. J. López, R. Novella, A. García, J. F. Winklinger, Investigation of the ignition and combustion processes of a dual-fuel spray under diesel-like conditions using computational fluid dynamics (CFD) modeling, *Mathematical and Computer Modelling*, Vol. 57, No. 7–8, pp. 1897–1906, 2013.
- [25] A. Shamouni, *Using in situ adaptive tabulation in simulation of mild combustion*, MSc Thesis, Tarbiat Modares University, Iran, 2012. (in Persian)
- [26] *Modeling standards and recommendations*, Accessed on 18 April 2015; <http://www.sandia.gov/ecn/cvdata/compMeth/modelStandards.php>.
- [27] R. J. Schick, spray technology reference guide understanding drop size, *Spray Analysis and Research Services*, Vol. 459, pp. 8–16, 1996.



شکل ۱۳ جرم تبخیر شده سوخت براساس سه توزیع قطر قطرات



شکل ۱۴ طول نفوذ گاز پیش‌بینی شده برای سه توزیع قطر قطرات



شکل ۱۵ مقایسه طول نفوذ مایع و بخار در حالت‌های ۱ و ۳، بعد از گذشت ۱۱۳ میلی‌ثانیه از پاشش

پایین‌تر به سبب قرارگیری مایع در فاصله دورتر به نازل دارای طول نفوذ بخار پیشتری است و با نتایج تجربی همخوانی بهتری دارد؛ بنابراین اگرچه طول